

# سنگ‌شناسی و زمین‌شیمی کمپلکس ماقمایی- دگرگونی توک و تعیین منشا کان‌سنگ آهن عنبر کوه استان فارس

بتول تقی پور<sup>۱</sup> و آراد بذرافشان<sup>۲\*</sup>

۱. استادیار بخش علوم زمین، دانشگاه شیراز

۲. دانشجوی کارشناسی ارشد زمین‌شناسی اقتصادی، بخش علوم زمین، دانشگاه شیراز

تاریخ دریافت: ۹۲/۱۱/۹

تاریخ پذیرش: ۹۳/۱۲/۱۷

## چکیده

کانسار آهن عنبر کوه در مجاورت کمپلکس توک و در ۸۰ کیلومتری شرق صفاشهر در شمال شرق استان فارس قرار گرفته است. این کمپلکس بخشی از زون زمین‌ساختی سندج- سیرجان جنوبی است. کمپلکس توک شامل واحدهای میکا شیست، مرمر و گرانیت- گنایس می‌باشد. مطالعات زمین‌شیمیایی بر روی توده نفوذی نشان‌دهنده ترکیب مونزو-گرانیت، گرانودیوریت و گرانیت می‌باشند. طبیعت ماقم‌کلسیمی- قلیابی است و محیط زمین‌ساختی تشکیل کمپلکس ماقمایی- دگرگونی توک فرورانش (VAG) می‌باشد. براساس مطالعات صحرائی، سنگ‌شناسی و زمین‌شیمیایی، گرانیت توک از نوع S می‌باشد. نتایج حاصل از زمین‌شیمی عنصر اصلی، واسطه و کمیاب خاکی نشان‌دهنده ارتباط ژنتیکی بین توده و سنگ‌های دگرگونی می‌باشد. رخداد آهن در این کانسار به صورت عدسی و رگه‌ای درون واحدهای کربناته منطقه به ویژه مرمرها و در فاصله چند کیلومتری توده گرانیت و گنایس می‌باشد. کان‌سنگ آهن در کمپلکس توک رخنمون دارد. براساس مطالعات کانی‌شناسی مجموعه کانی‌های در هماتیت، مگنتیت، کلسیت، فلوگوپیت، گارنت، پیروکسن اپیدوت کان‌سنگ آهن دیده شده است.

مطالعه میانبارهای سیال کوارتز همراه با کانه‌زایی عمدتاً از نوع دو فازی مایع- بخار و اولیه هستند. متوسط دمای همگن شدگی در این میانبارها ۲۶۰ درجه سانتی‌گراد و شوری معادل ۱۸/۵ درصد وزنی NaCl است. همچنین پدیده جوشش در سیال کانه‌را رخ داده است. چگالی میانبارهای سیال در محدوده چگالی ۰/۹ تا ۰/۱۰ می‌باشند. براساس نمودار دمای همگن شدگی در مقابل شوری سیالات درگیر کانسار آهن عنبر کوه از نوع اسکارن است که در مرحله پسرونده تشکیل شده است.

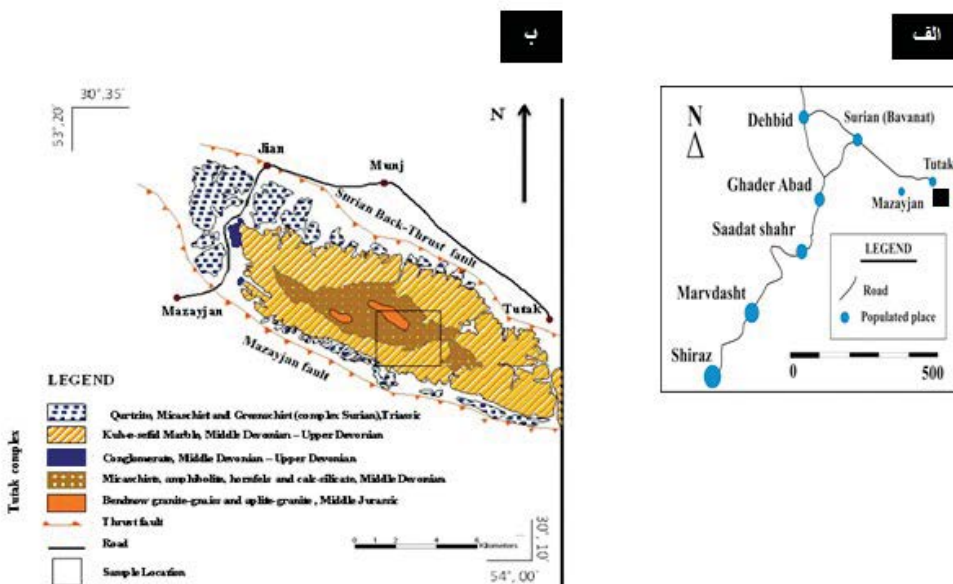
**واژه‌های کلیدی:** آهن عنبر کوه، کمپلکس توک، زمین‌شیمی، میانبار سیال، اسکارن

\* نویسنده مرتبط: aradbazrafshan@yahoo.com

کانسار عنبر کوه در بخش جنوبی زون سندنج سیرجان و در ۲۴۰ کیلومتری شمال شرق شهرستان شیراز واقع است. از جمله راههای مهم دسترسی به این منطقه مسیر شیراز-صفاشهر (د ۵ بید)-سوریان-توتک است (شکل ۱-الف). منطقه مورد مطالعه جزئی از کمپلکس ماجمایی-دگرگونی توتک است (شکل ۱-ب). این منطقه در نقشه زمین‌شناسی ۱/۲۵۰۰۰۰ اقلید، (هوشمندزاده و سهیلی، ۱۳۶۹) و ۱/۱۰۰۰۰۰ سوریان (اویسی، ۱۳۸۲) قرار می‌گیرد.

## مقدمه

کانسارهای آهن به پنج گروه اصلی کانسارهای آهن ماجمایی، کانسارهای اسکارن آهن، کانسارهای رسوبی آهن، کانسارهای آهن آتشفشاری-رسوبی و کانسارهای آهن گرمابی تقسیم می‌شوند (Guilbert and Prak, 1997). طبیعت ماجماتیسم و نوع جایگاه زمین ساختاری، کنترل کننده اصلی تیپ‌های مختلف ذخایر اکسید آهن می‌باشد. ذخایر اکسیدی به‌طور کلی در جایگاه کمان قاره‌ای و محیط‌های درون کراتونی تشکیل شده‌اند (Pollard, 2000).



شکل ۱ . (الف) نقشه راههای دسترسی به منطقه مورد مطالعه، (ب) نقشه زمین‌شناسی منطقه مورد مطالعه

توتک را بررسی نمود و نوع توده گرانیتی منطقه را تعیین کرد. حسینی و همکاران (۱۳۹۰) سن یابی و تحولات آذرین و دگرگونی تاقدیس کوه سفید را مورد مطالعه قرار داد و سن توده را به روش اورانیم-سرب  $173 \pm 9$  Ma تعیین نمود و نیز تیپ گرانیت توتک را معرفی کرد. قدمی میمندی و همکاران (۱۳۹۰)، به مطالعه زمین‌شناسی و زمین‌شناسی اقتصادی کانی‌ها گارنت، تورمالین و آمفیبول در گرانیت گنیس کمپلکس توتک پرداختند.

ابراهیمی (۱۳۷۸) منشا کانسنگ آهن توتک را با توجه به عملکردهای فاز آتشفشاری در دونین زیرین و شواهد زمین‌شناسی از نوع برون‌دمی دور از منشا در نظر گرفته‌اند. احمدی (۱۳۸۳) پتروگرافی، پتروژنیز و زمین‌شناسی سنگ‌های دگرگونی کمپلکس توتک را مورد بررسی قرار داد و دگرگونی در این مجموعه را از نوع دما-فسیار متوسط و در حضور یک سیال غنی از  $H_2O$  و فقیر از  $CO_2$  تعیین نمود. نوری خانکه‌دانی (۱۳۸۴) ارتباط ژنتیکی و ساختاری گرانیت-گنیس

بتول تقی پور و آزاد بذرافشان

سیاه رنگ است و در نهایت مجموعه‌ای که بیشترین سنگ‌های آن از مرمر تشکیل می‌شود و بنام مرمرهای کوه سفید معروف است (Kolahiazar, 2005).

کانسار آهن عنبر کوه دارای ذخیره ۸۰۰۰۰ تن و عیار ۵۵٪. در فاصله ۵ کیلومتری توتک قرار دارد. این کانسار در سنگ‌های کربناته به صورت عدسی، جانشینی و رگه‌ای دیده می‌شود. کانه غالب کانسار عنبر کوه کانی مگنتیت است. کانی‌ها باطله‌ای چون کلسیت، کوارتز، ترمولیت- اکتینولیت و گارنت همیافت با کانی‌سازی آهن می‌باشدند.

### روش تحقیق

در ابتدا به دنبال بی‌جوى‌های صحرایی تعداد ۸۷ نمونه از سنگ‌های کربناته، سنگ‌های دگرگونی و توده نفوذی، برداشت شد. سپس تعداد ۱۸ برش نازک و ۹ برش صیقلی از مقاطع تهیه شد. مطالعات پتروگرافی توسط میکروسکوپ پلاریزان مدل BH<sub>2</sub> در آزمایشگاه سنگ‌شناسی دانشگاه شیراز انجام گردید. به منظور انجام آزمایشات زمین شیمیایی توده نفوذی تعداد ۷ نمونه XRF در آزمایشگاه مرکزی دانشگاه اصفهان انجام پذیرفت. برای مطالعات عناصر کمیاب و کمیاب خاکی ۸ نمونه ICP-MS در آزمایشگاه انجام شد (جدول شماره ۱). برای رسم نمودارها از نرم افزار Minpet 2.02 استفاده شده است. برای مطالعات سیالات درگیر ۳ مقطع دوبر صیقل با ضخامت تقریبی میلی‌متر از کوارتز همزیست با کانه‌زایی تهیه شد. اندازه‌گیری‌ها با استفاده از صفحه Linkham THMS600 گرم‌کننده و منجمد کننده Stage Zeiss و مجهز به چرخان در دانشگاه اصفهان انجام گرفته است. دامنه دمایی دستگاه ۱۹۰- تا +۶۰ درجه سانتی‌گراد است. سیستم با میانبارهای سیال مصنوعی (Sterner and Bodnar, 1984) در دمای ۶/۵۶ و ۱/۳۷۴ درجه سانتی‌گراد کالیبره شده است.

هدف از این مقاله بررسی ارتباط ژنتیکی توده نفوذی توتک و منشا کانسار عنبر کوه با استفاده از داده‌های کانی‌شناسی، زمین‌شیمی و میانبار سیال می‌باشدند.

### زمین‌شناسی منطقه مورد مطالعه

پهنه سندج- سیرجان که کانسار آهن عنبر کوه در آن واقع شده، طی فرورانش پوسته اقیانوس نئوتیس به زیر خردۀ قاره ایران و نهایتاً برخورد سکوی قاره عربی به صفحه ایران در کرتاسه- ترشیری شکل گرفته است (Berberian and king, 1981; Mohajjel et al., 2003). در مورد زمان دقیق فرورانش و برخورد اختلاف نظر زیادی می‌باشدند (Niromand et al., 2011).

برخی محققین (Agard et al., 2005; Arvin et al., 2007) معتقدند که فرورانش پوسته اقیانوسی به زیر SSZ ۱۵۰ میلیون سال قبل در تریاس- زوراسیک آغازین انفاق افتاده در حالی که پژوهشگران دیگری (Berberian, 1981; Alavi, 1994; Moeinvaziri, 1985) زمان فرورانش اولیه را کرتاسه آغازین- پایانی می‌دانند در مورد زمان بسته شدن نهایی اقیانوس نئوتیس یا برخورد بلوك‌های ایران و عربستان نیز نظرات متفاوتی وجود دارد. Alavi (1994) زمان این برخورد را به کرتاسه پایانی نسبت می‌دهد در حالی که Berberian et al. (1987) این زمان را ائوسن، Broud (1982) آن را نئوژن و Agard et al. (2005) آن را ۲۳ تا ۲۵ میلیون سال قبل می‌دانند.

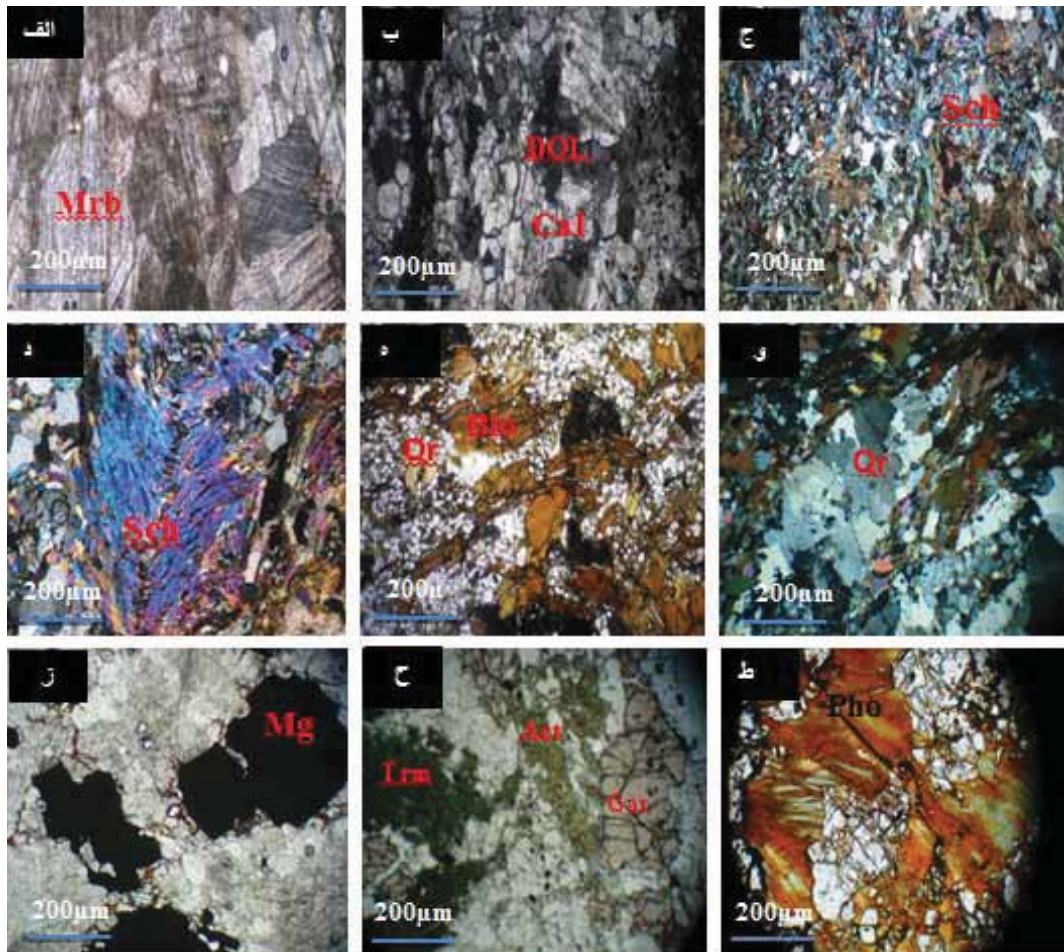
کمپلکس توتک به صورت تاقدیس بیضوی شکل با قطر بزرگ ۲۰ کیلومتر و قطر کوچک ۱۰ کیلومتر با روندی شمال غرب- جنوب شرق و همروند با راندگی اصلی زاگرس است که در بین دو گسل اصلی سوریان در شمال و مزایجان در جنوب با سازوکار معکوس (با شبیه زیاد) و مولفه امتداد لغز راست برقرار گرفته است (شکل ۱-ب). به طور کلی کمپلکس توتک از پایین به بالا از سه بخش تشکیل می‌شود. ارتگنایس یا گرانیتی که بیشترین گسترش آن در بن دونو است. سپس ردیف شیستهای

بیوپتیت‌های موجود در شیست‌ها اولیه هستند و از سنگ دگرگون حاصل شده‌اند زیرا تورق خود را حفظ کرده‌اند. تیغه‌های اکتینولیت و ترمولیت در شیست وجود دارد. سیلیسی شدن به مقدار زیاد در شیست رخ داده است و به صورت دانه‌ای و بافت موزاییکی بین کربنات را پر کرده است (شکل ۲-ج). سرسیت (مسکوویت دانه‌ریز) کانی دیگر فراوان در شیست می‌باشد. کانی زایی آهن در شیست‌ها به صورت رگه‌ای یا شکافه پرکن دیده می‌شود و به علت دگرگونی ناحیه‌ای شدید بافت میکافیشی تشکیل شده است (شکل ۲-د).

برای محاسبات سیالات درگیر از نرم افزار Flincor استفاده شده است (جدول شماره ۲).

## پتروگرافی

مرمر از جمله سنگ‌های کربناته منطقه است که دچار بازبلورش شده و درشت شدن بلورها در آن دیده می‌شود. بافت موزاییکی در این سنگ شاخص است (شکل ۲-الف). سیدریت و دولومیت‌ها ریزدانه هستند و برجستگی بالاتری را نسبت به کلسیت نشان می‌دهند. این کانی‌ها به همراه کلسیت بافت گرانولار دارند (شکل ۲-ب) شیست، سنگ دگرگونی فراوان در منطقه توتک است.



شکل ۲. (الف) مرمر با بافت موزاییکی و کلیواژ واضح، (ب) کلسیت نسل اول با بافت موزاییکی، (ج) شیست با بافت دانه‌ای و گاهی موزاییکی، (د) شیست با بافت میکافیشی، (ه) گرانیت دو میکایی با بافت اینترگرانولار، (و) کوارتز درشت بلور با خاموشی موجی ز) مگنتیت مکعبی و هماتیت شکل‌دار، (ح) همرشدی ترمولیت-اکتینولیت در کنار گارنت ناهمسانگرد، (ط) فلوگوپیت شعاعی با چند رنگی سبز و یک جهت کلیواژ واضح در اسکارن. (Mrb = مرمر، Dol = دولومیت، Cal = کلسیت، Sch = میکافیشی، Bio = بیوپتیت، Mg = منیزیم، Trm = ترمولیت، Act = اکتینولیت، Gar = گارنت، Pho = فلوگوپیت)

بتول تقی پور و آزاد بذرافشان

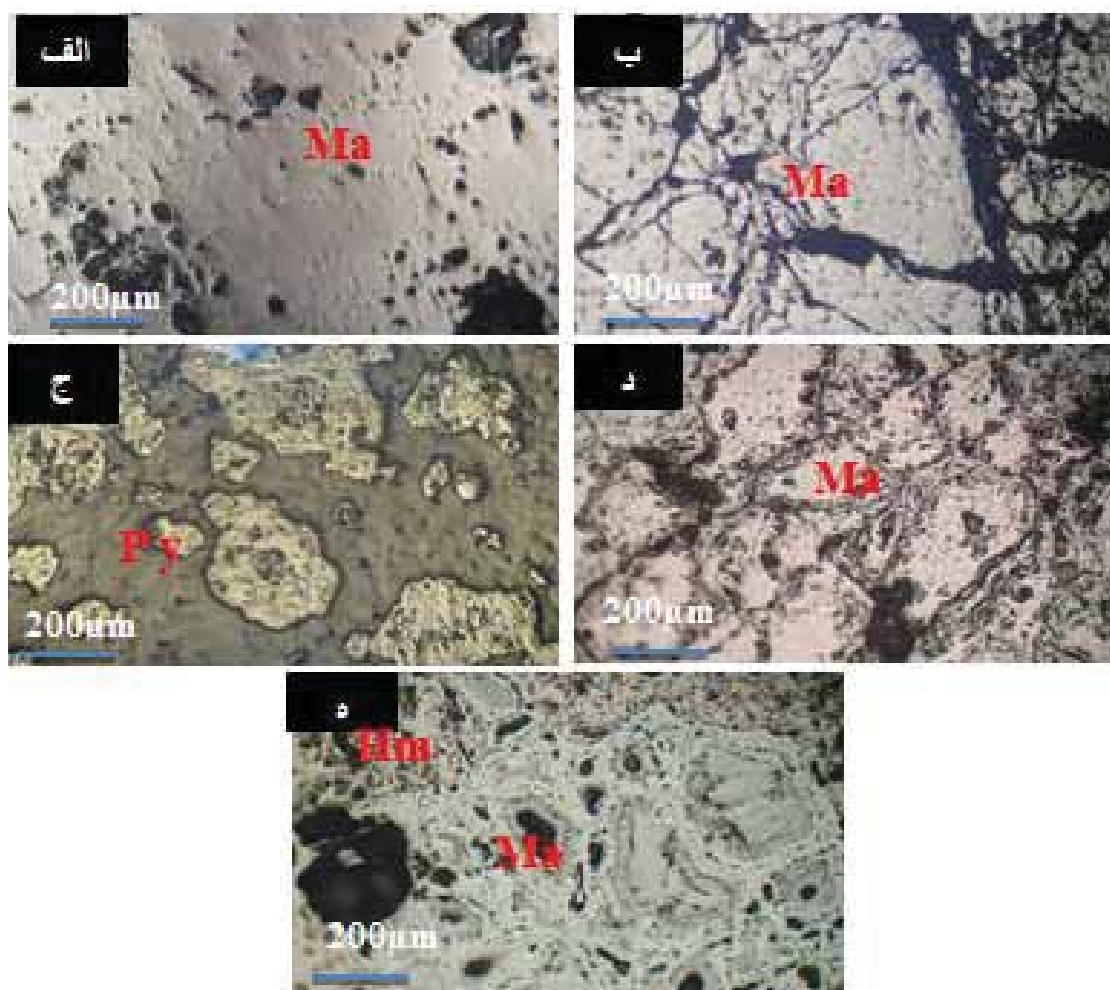
در اسکارن به وفور مشاهده می‌شود (شکل ۲-ج). فلوگوپیت از دیگر کانی‌ها موجود در این بخش است که به نظر می‌رسد از گارتنت به وجود آمده است. این کانی به رنگ سبز بسیار تند و به صورت شعاعی در مقاطع دیده شده است (شکل ۲-ط). به طور کلی مجموعه کانی‌ها گارتنت، کلریت، اسفن، ترمولیت، اکتینولیت، پیروکسن و فلوگوپیت در واحد اسکارنی دیده می‌شود.

### کانی‌شناسی

کانه‌زایی آهن در منطقه دارای گسترش نزدیک ۲ کیلومتر مربع می‌باشد. این کانسار در سنگ‌های آهکی کرتاسه رخنمون دارد. مگنتیت کانی اصلی آهن است که در برش‌های صیقلی بافت توده‌ای، جانشینی و برشی را نشان می‌دهد. پیریت همراه مگنتیت‌های توده‌ای، دیده می‌شود (شکل ۳-الف). مگنتیت برشی ناشی از عوامل زمین‌ساختی فعال در منطقه است و رشد مگنتیت در کنار هم‌دیگر بافت پیوستگاه سه گانه با زاویه ۱۲۰ درجه مشاهده می‌شود (شکل ۳-د). جانشینی مگنتیت توسط مارتیت به صورت هسته‌ای از مگنتیت در مرکز مشاهده می‌شود (شکل ۳-ه).

گرانیت‌های گنیسی از دیگر سنگ‌های تشکیل‌دهنده منطقه است که از دگرگونی سایر سنگ‌های شیست و شیل‌ها به وجود آمده است. این سنگ‌ها بیوتیت فراوان دارد که اغلب به صورت اولیه می‌باشند. کوارتز در این سنگ به صورت درشت بلور بوده و خاموشی موجی را نشان می‌دهد. کلسیت در بین دانه‌های کوارتز رشد کرده است. در مناطقی که آهن ظاهر می‌شود سیلیسی شدن به صورت دانه‌های درشت‌تر نیز دیده می‌شود (شکل ۲-ه). گرانیت منطقه از نوع دو میکائی است. مسکوپیت و بیوتیت به وفور در اطراف کوارتز مضرس دیده شده است (شکل ۲-و). مگنتیت شکل دار (مکعبی) و هماتیت قرمز رنگ به صورت جانشینی در کربنات‌ها تشکیل شده‌اند (شکل ۲-ز).

از دیگر واحدهای سنگ‌شناسی در منطقه می‌توان به اسکارن‌ها اشاره کرد. این واحد سنگی در پنج کیلومتری توده نفوذی توک و بدون هیچگونه حاشیه واکنشی نسبت به آن قرار گرفته است. گارتنت‌ها به صورت ناهمسانگرد دیده شده است که احتمالاً از نوع هیدروگراسولار می‌باشند. آمفیبول‌های رشتہ‌ای (ترمولیت و اکتینولیت) و گارتنت در کنار کربنات



شکل ۳. (الف) مگنتیت توده‌ای همراه با دانه‌های پیریت، (ب) مگنتیت با بافت برشی، (ج) پیریت با بافت جزیره‌ای در زمینه‌ای از مگنتیت، (د) مگنتیت با بافت پیوستگاه سه‌گانه، (ه) جانشینی هماتیت به‌جای مگنتیت (تصاویر در نور ppl گرفته شده است)

در مراحل اولیه تفريق خود غنی شدگی از آهن را نشان می‌دهند. در حالی سری‌های کالک آلکالن به علت تبلور اکسیدهای آهن و تیتان، این غنی شدگی را نشان نمی‌دهند و به سمت آلکالی‌ها پیش می‌روند. تمامی نمونه‌ها در این نمودار در محدوده کالک آلکالن واقع می‌شوند (شکل ۴- ب). برای بررسی درجه سیرشدگی آلومینیوم از نمودار Maniar and Irvin (1981)، AFM (1971)، Baragar (1971) براساس نمودار مثلثی AFM استفاده شده است. براساس این نمودار نمونه‌ها در محدوده متالومینیوس قرار می‌گیرند و تنها یک نمونه

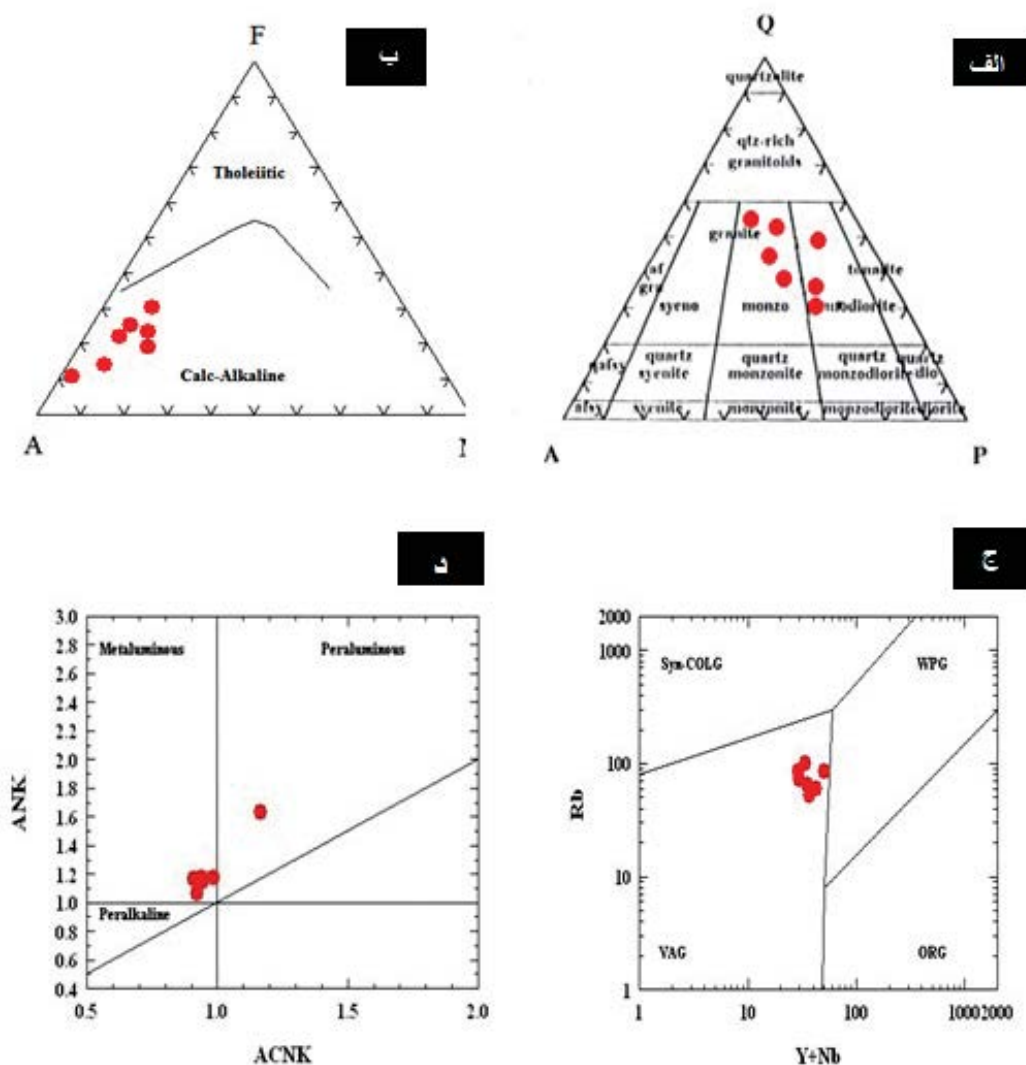
### زمین شیمی توده نفوذی

برای مطالعات زمین شیمی توده نفوذی هفت نمونه به روش XRF تجزیه شد (جدول ۱). براساس رده‌بندی Streckeisen (1976) بیشتر نمونه‌ها در محدوده مونزوگرانیت قرار می‌گیرند و تنها چند نمونه متمایل به گرانوودیوریت می‌باشند (شکل ۴- الف). Irvin and Baragar (1971) براساس نمودار مثلثی AFM، سری ساب آلکالن را به دو سری تولئیتی و کالک آلکالن تقسیک نموده‌اند که هر یک ویژگی‌های خاص خود را دارند. در نمودارهای AFM سری‌های تولئیتی

## بتول تقی پور و آزاد بذرافشان

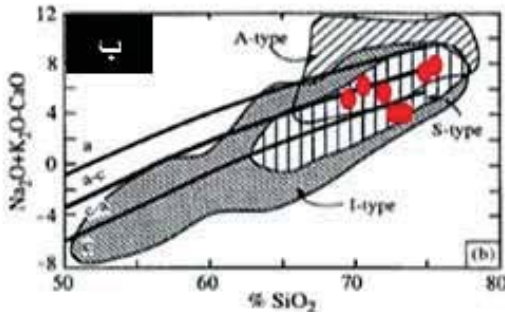
گرانیت‌های همزمان با برخورد را از گرانیت‌های کمان آتشفشارانی جدا می‌کند که بر اساس این نمودار گرانیت توک در محدوده گرانیت‌های کمان آتشفشارانی قرار می‌گیرد (شکل ۴-د).

در محدوده پرآلومینیوس قرار می‌گیرد (شکل ۴-ج). برای تعیین جایگاه زمین‌ساختی گرانیت توک از Pearce et al., (1984) از (Y+Nb)-Rb نمودار استفاده گردیده است. نمودار دو متغیره (Y+Nb)-Rb



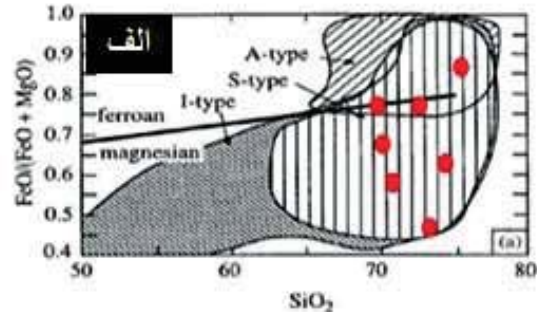
شکل ۴. ردبندی شیمیایی نمونه‌های گرانیت توک. (الف) نامگذاری براساس نمودار (Irvin, Streckeisen, 1976)، (ب) ردبندی براساس نمودار (Pearce et al., 1984) (Y+Nb)-Rb نمودار (Maniar and Piccoli, 1989) (and Baragar, 1971).

(شکل ۵-ب) Landenberger and Collins, 1996 استفاده شده است. بر اساس این نمودارها تمامی نمونه‌ها در محدوده گرانیت نوع S قرار می‌گیرد.



شکل ۵. الف) ردیابی گرانیت‌ها بر اساس نمودار  $\text{SiO}_2/\text{Na}_2\text{O}+\text{K}_2\text{O}-\text{CaO}$  در مقابل  $\text{FeO}/(\text{FeO}+\text{MgO})$  (Landenberger & Collins, 1996)

برای ردیابی گرانیت توتک از نمودار  $\text{FeO}/(\text{FeO}+\text{MgO})$  در مقابل درصد  $\text{SiO}_2$  (شکل ۵-الف) و  $\text{SiO}_2$  در مقابل  $\text{Na}_2\text{O}+\text{K}_2\text{O}-\text{CaO}$  (الـف) و



بهنجار شده است (شکل ۶). همان‌طور Chondrite که در شکل مشاهده می‌شود تطابق کامل بین عناصر کمیاب خاکی گرانیت توتک و گرانیت‌های نوع S مرکز پرتفعال وجود دارد. Eu بی‌هنجاری منفی واضحی را نشان می‌دهد. بی‌هنجاری Eu بویژه در مذاب‌های فلزیک-حدواسط توسط فلدسپارها کنترل می‌شود. همان‌طور که مشاهده می‌شود سنگ‌ها از عناصر کمیاب خاکی سبک (LREE) نسبت به (HREE) غنی‌شدگی بیشتری دارند و ممکن است نشان‌دهنده بالا بودن نسبت  $\text{CO}_2/\text{H}_2\text{O}$  در منشا، عمق بیشتر تولید مagma و (Sajana et al., 1996) یا حضور گارنت در سنگ منشا گارنت باشد (Chappel and White, 1974) نسبتاً سدیک و ترکیب سیلیس بالای دارند (77-64 درصد وزنی  $\text{SiO}_2$ ) که باز هم با نمونه‌های گرانیت توتک به HREE احتمالاً در اثر وجود گارنت در منشا است زیرا ضرایب جدایش REE در کانی اختلاف زیادی دارد (Rollinson, 1993). البته تفریق LREE نسبت به HREE به دلیل منشا پوسته‌ای و نشان‌دهنده تفریق در مagma می‌باشد که در مورد گرانیت توتک چون در اثر ذوب‌بخشی پوسته‌ایجاد شده نیز همان منشا پوسته‌ای را نشان می‌دهد.

بی‌هنجاری منفی Eu و نسبت بالای LREE نشان‌دهنده جایگاه زمین‌ساختی قاره‌ای و

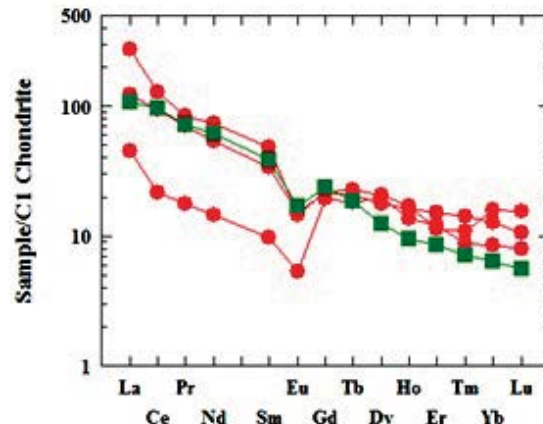
شواهد پتروگرافی و زئوشیمی صورت گرفته در منطقه توتک همانند ترکیب یکنواخت توده گرانیت‌تییدی، وجود میانبارهای میکاشیستی و عدم وجود میانبارهای بازی و همچنین شواهد کانی‌شناسی فراوان از جمله دو میکایی بودن گرانیت‌ها (مسکوویت به همراه بیوتیت)، نبود هورنبلند و حضور گارنت به عنوان کانی فرعی، همگی خاکی از آن است که مagma سازنده توتک از ذوب بخشی پوسته قاره‌ای نشات گرفته است (حسینی و همکاران، ۱۳۹۰). همچنین براساس طبقه‌بندی Chappel and White, (1974) گرانیت‌های نوع S نسبتاً سدیک و ترکیب سیلیس بالای دارند (77-64 درصد وزنی  $\text{SiO}_2$ ) که باز هم با نمونه‌های گرانیت توتک مطابقت دارد.

برای بررسی رفتار عناصر کمیاب خاکی در سنگ‌های منطقه تعداد ۳ نمونه گرانیت، ۲ نمونه شیست و ۳ نمونه از کانسنگ عنبر کوه را توسط روش ICP-MS تجزیه شد. در جدول ۱، نتایج عناصر کمیاب و نادر خاکی را مربوط به توده نفوذی، سنگ‌های دگرگونی و کانسوار آهن را نشان داده شده است. نمودار عناصر کمیاب خاکی گرانیت توتک و میانگین گرانیت نوع S مرکز پرتفعال (Wakita et al., 1971) نسبت به C1 به

بتول تقی پور و آزاد بذرافشان

توتک دارای  $\Sigma\text{REE} = 48-210$ , غنی شدگی از عناصر خاکی کمیاب سبک ( $\text{LREE}_S$ ) نسبت به عناصر خاکی کمیاب سنگین ( $\text{HREE}_S$ ) با نسبت  $(\text{La/Lu})$  با نسبت  $_{\text{N}}$  بین  $5-16$  و بی هنجاری منفی  $\text{Eu}$  بین  $0.56-0.05$  می باشدند. بر طبق مطالعات Henderson (1989) سنگ های حدوداً متوسط تا فلزیک دارای  $341-0.39$  می باشند. نسبت  $\Sigma\text{REE}/\text{HREE}$  بین  $21/5-1/25$  بی هنجاری  $\text{Eu}$  بین  $0.05-0.15$  می باشند. این تغییرات با نمونه های گرانیت توتک مطابقت دارند. هرچه میزان مجموع REE بیشتر شود نشانه جدایش بیشتر مواد فرار و فلزات و عناصر ناسازگار از مagma می باشدند. عنصر Ce در نمونه های گرانیت توتک بی هنجاری منفی نشان می دهد. بی هنجاری منفی Ce بین  $0.92-0.69$  می باشند. نمودار عناصر کمیاب خاکی شیسته های منطقه نسبت به C1 Chondrite (شکل ۷-الف). نمونه های شیست نیز بی هنجاری منفی در عناصر Eu و Ce و همچنین بی هنجاری مثبت در عنصر Gd را نشان می دهند. نمونه های شیست دارای  $\Sigma\text{REE}$  بین  $154-201$ , نسبت  $_{\text{N}}(\text{La/Lu})$  بین  $8-10$ , بی هنجاری منفی  $\text{Eu}$  بین  $0.67-0.56$  و بی هنجاری منفی Ce بین  $0.89-0.69$  می باشند. نمودار عناصر کمیاب خاکی کان سنگ آهن عنبر کوه نسبت به C1 Chondrite بهنجار شده است (شکل ۷-ب). در این نمودار بی هنجاری مثبت شدیدی نشان می دهد و Ce بی هنجاری مثبت ضعیفی دارد (شرایط اکسایشی است). بی هنجاری مثبت Eu در نمونه های آهن عنبر کوه بیانگر فوگاسیته بالای اکسیژن و نیز دمای بیش از  $250$  درجه سانتی گراد سیال کانه زا می باشدند. همچنین بی هنجاری مثبت یوروپیوم در سیالات گرمابی نشان دهنده وجود سیالات غنی از کلر می باشند. (Michard, 1989).

یا حاشیه قاره ای می باشند (Henderson, 1989). همچنین غنی شدگی LREE نسبت به HREE از ویژگی گرانیت با منشا پوسته قاره ای می باشدند و نشان دهنده محیط تکتونیکی حاشیه قاره است.



شکل ۶. الگوی پراکندگی عناصر کمیاب خاکی گرانیت توتک A دایره گرانیت توتک و مریع گرانیت نوع S مرکز پرتغال Antunes et al., (2007)

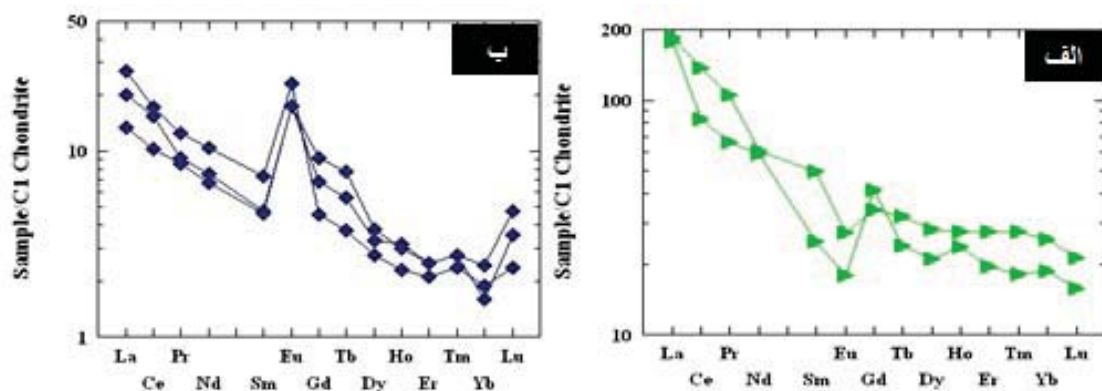
جهت تعیین منشا کان سنگ آهن غلظت عناصر خاکی کمیاب را در نمونه های تووده گرانیتی توتک، شیسته های منطقه و کان سنگ آهن عنبر کوه Wakita et al., (1971) را نسبت به داده های بهنجار شد و مقادیر عناصر کل خاکی کمیاب ( $\Sigma\text{REE}$ ), درجه تفکیک الگوی عناصر خاکی کمیاب سبک نسبت به سنگین ( $_{\text{N}}(\text{La/Lu})$ ), درجه تفکیک عناصر خاکی کمیاب سبک نسبت به عناصر متوسط ( $_{\text{N}}(\text{La/Sm})$ ), درجه تفکیک عناصر خاکی کمیاب سنگین ( $_{\text{N}}(\text{Gd/Lu})$ ), بی هنجاری عنصر یوروپیوم (Eu) بر طبق رابطه  $\text{Eu/Eu}^* = \text{Eu}_{\text{N}} / [(\text{Sm})_{\text{N}} (\text{Gd})_{\text{N}}]^{1/2}$  با نشانه  $\text{Eu/Eu}^*$  و بی هنجاری عنصر سزیم (Ce) بر طبق رابطه  $\text{Ce/Ce}^* = \text{Ce}_{\text{N}} / [(\text{La})_{\text{N}} (\text{Pr})_{\text{N}}]^{1/2}$  با نشانه  $\text{Ce/Ce}^*$  محاسبه شد (جدول ۱).

این نتایج نشان می دهد که نمونه های گرانیت

جدول ۱. نتایج تجزیه شیمیایی عناصر اصلی، واسطه و خاکی کمیاب گرانیت، شیست و کانسنگ آهن عنبر کوه توک

Sample	Bk12 گرانیت	Bk9 گرانیت	Bk1 گرانیت	Bk2 گرانیت	Bk3 گرانیت	G1 گرانیت	G2 گرانیت	
SiO <sub>2</sub> %	70.54	74.32	76.00	72.21	69.34	73.19	72.84	
Al <sub>2</sub> O <sub>3</sub> %	13.25	11.63	12.51	11.70	13.04	11.33	13.21	
Fe <sub>2</sub> O <sub>3</sub> %	3.89	2.04	1.44	3.15	4.11	4.44	2.20	
CaO %	1.58	0.89	1.21	1.23	1.75	1.02	1.79	
Na <sub>2</sub> O %	5.26	3.64	4.65	4.17	4.77	5.11	3.84	
MgO %	1.74	0.98	0.27	0.89	1.10	1.25	1.38	
K <sub>2</sub> O %	2.41	4.62	3.84	3.27	3.16	1.15	1.63	
TiO <sub>2</sub> %	0.53	0.41	0.11	0.66	0.39	0.28	0.44	
P <sub>2</sub> O <sub>5</sub> %	0.18	0.098	0.03	0.29	0.09	0.03	0.04	
Total %	99.38	98.62	100.06	97.57	97.75	97.80	97.37	
sample	Bk12 گرانیت	G10 گرانیت	G21 گرانیت	S27 شیست	S1 شیست	Ore8	Ore12	Ore6
La (ppm)	28.9	10.8	64.4	43.8	42.1	4.75	3.87	6.36
Ce (ppm)	57.4	3.2	79.1	83.7	50.49	9.47	6.32	10.6
Pr (ppm)	6.71	1.67	8.07	9.99	6.28	0.87	0.81	1.19
Nd (ppm)	25.4	6.75	34.19	28.3	27.4	3.54	3.14	4.86
Sm (ppm)	5.15	1.49	7.37	7.55	3.81	0.73	0.71	1.12
Eu (ppm)	0.88	0.31	0.85	1.58	1.04	1.02	1.01	1.34
Gd (ppm)	4.41	3.99	4.51	7.00	8.48	1.89	1.40	0.94
Tb (ppm)	0.78	0.68	0.84	1.20	0.89	0.29	0.21	0.14
Dy (ppm)	4.54	4.98	5.25	7.14	5.34	0.97	0.84	0.70
Ho (ppm)	0.92	0.76	0.97	1.56	1.34	0.17	0.18	0.13
Er (ppm)	2.51	2.02	1.87	4.53	3.21	0.41	0.41	0.35
Tm (ppm)	0.36	0.22	0.28	0.70	0.46	0.07	0.07	0.06
Yb (ppm)	2.14	1.46	2.68	4.34	3.17	0.41	0.27	0.32
Lu (ppm)	0.27	0.20	0.39	0.54	0.40	0.12	0.09	0.06
ΣREE	140.37	48.53	210.77	201.93	154.4	24.71	19.33	28.17
Eu/Eu*	0.56	0.39	0.45	0.67	0.56	2.68	3.12	4.03
Ce/Ce*	0.92	0.69	0.77	0.89	0.69	1.06	0.79	0.85
((La/Lu)N)	10.70	5.40	16.51	8.11	10.52	3.96	4.31	10.62
((La/Sm) <sub>N</sub> )	3.21	4.15	5.01	3.32	6.33	3.73	3.12	3.20
((Gd/Lu) <sub>N</sub> )	2.13	2.60	1.51	1.69	2.76	2.06	2.03	2.05
Co (ppm)						29.8	22.2	5.7
Ga (ppm)						7.4	17.6	3.1
Sn (ppm)						578	535	2
V (ppm)						17.5	13.8	12.01

بتول تقی پور و آزاد بذرافشان

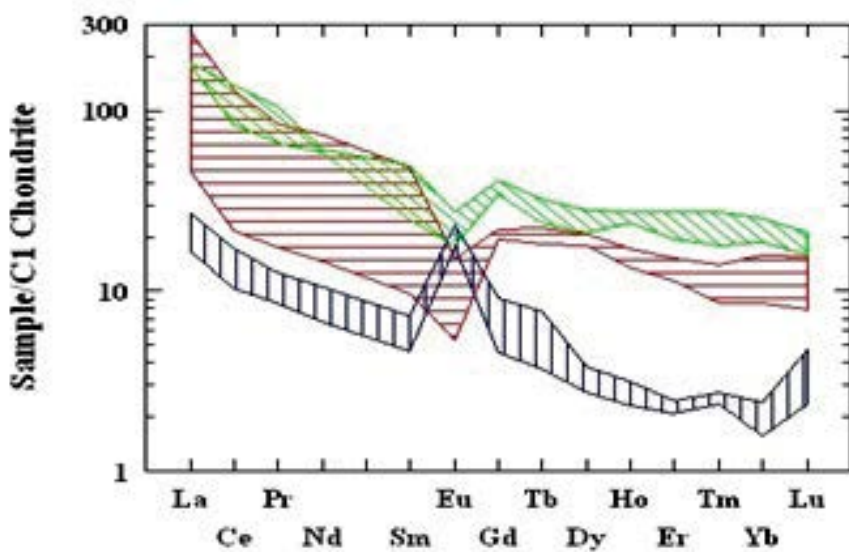


شکل ۷. الف) الگوی پراکندگی عناصر کمیاب خاکی شیستهای منطقه، ب) الگوی پراکندگی عناصر کمیاب خاکی کانسنگ آهن عنبرکوه

گرمابی می‌باشدن (Castor and Hedrick, 2006).  
بی‌هنگاری مثبت Eu در کانسنگ آهن عنبرکوه  
بین  $403 - 268$  و بی‌هنگاری منفی Ce بین  $106 - 79$   
می‌باشدند.

برای مقایسه رفتار عناصر کمیاب خاکی در تمامی  
واحدهای سنگی، نمودار عناصر کمیاب خاکی گرانیت  
توتک، شیست و کانسنگ آهن عنبرکوه نسبت به  
C1 Chondrite بهنجار شده است (شکل ۸).

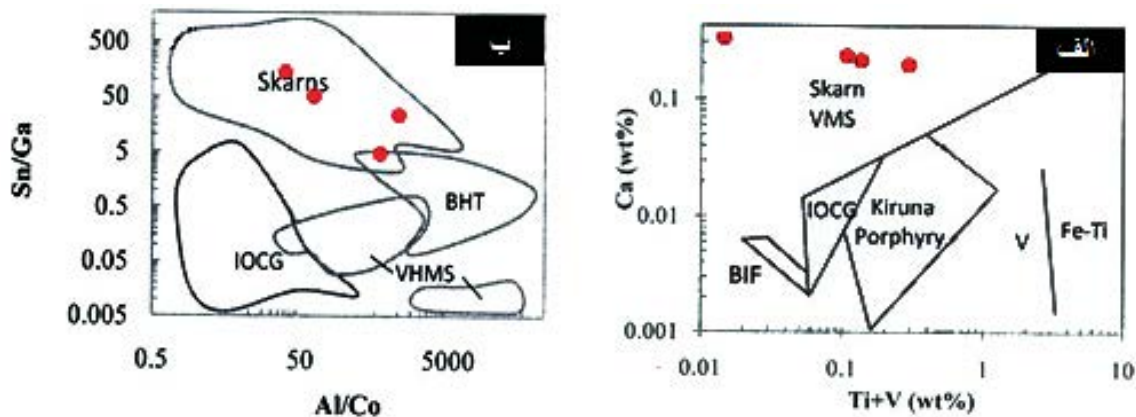
طبق ردهبندی Henderson (1984) که در ارتباط با  
غلظت عناصر کمیاب در کانسارهای گرمابی می‌باشد،  
مقدار کل عناصر کمیاب  $\Sigma \text{REE} = 300 - 25$  را در رده  
مقادیر کم تا متوسط و  $\Sigma \text{REE} = 25$  در رده بسیار کم  
قرار می‌گیرد. مقدار نسبت  $(\text{La}/\text{Lu})_N$  در کانسنگ  
عنبرکوه  $10 - 3$  متغیر می‌باشدند. غنی‌شدنگی/LREE  
در حالت کلی وابسته به تفکیک HREE در  
مذاب اولیه و جدایش این عناصر طی سرد شدن سیال



شکل ۸. مقایسه پراکندگی عناصر کمیاب خاکی در گرانیت، شیست و کانسنگ (خطوط افقی محدوده گرانیت، خطوط مورب محدوده شیست  
و خطوط عمودی محدوده مربوط به کانسنگ آهن می‌باشند)

منشا یک ذخیره آهن به شمار می‌آید (Nystrom and Henriquez, 1994). برای تعیین منشا آهن نمونه‌های کان‌سنگ عنبرکوه از روی نمودار Sn/Ga در مقابل Al/Co و همچنین از نمودار Ca در مقابل Ti+V (Lohberg and Horndhal, 1983) در نمودار درصد وزنی Ti+V در مقابل Sn/Ga تمام نمونه‌ها در محدوده Skarn قرار گرفتند. با توجه به نمودار Al/Co در مقابل Sn/Ga نمونه‌ها محدوده اسکارن را نشان می‌دهند (شکل ۹).

همان‌گونه که در شکل ۸ نیز مشاهده می‌شود الگوی پراکندگی عناصر کمیاب خاکی (به جز Eu) هر سه نوع واحد سنگی روندی مشابه را نشان می‌دهند که احتمالاً نشان‌دهنده منشا یکسان آنها است. بنابراین گرانیت می‌تواند از ذوب بخشی شیست منشا بگیرد و کان‌سنگ آهن نیز وابسته به جریان دگرگونی این کمپلکس است. مقایسه عناصر واسطه بهدلیل رفتار شیمیایی آنها و روابط آنها با برخی عناصر اصلی در کانسارهای مختلف آهن، راهکاری مناسب جهت بررسی



شکل ۹. رده‌بندی کانسارهای آهن و جایگاه کان‌سنگ آهن عنبرکوه، (الف) نمودار Ti+V در مقابل Ca، (ب) نمودار Al/Co در مقابل Sn/Ga از Lohberg and Horndhal (1983)

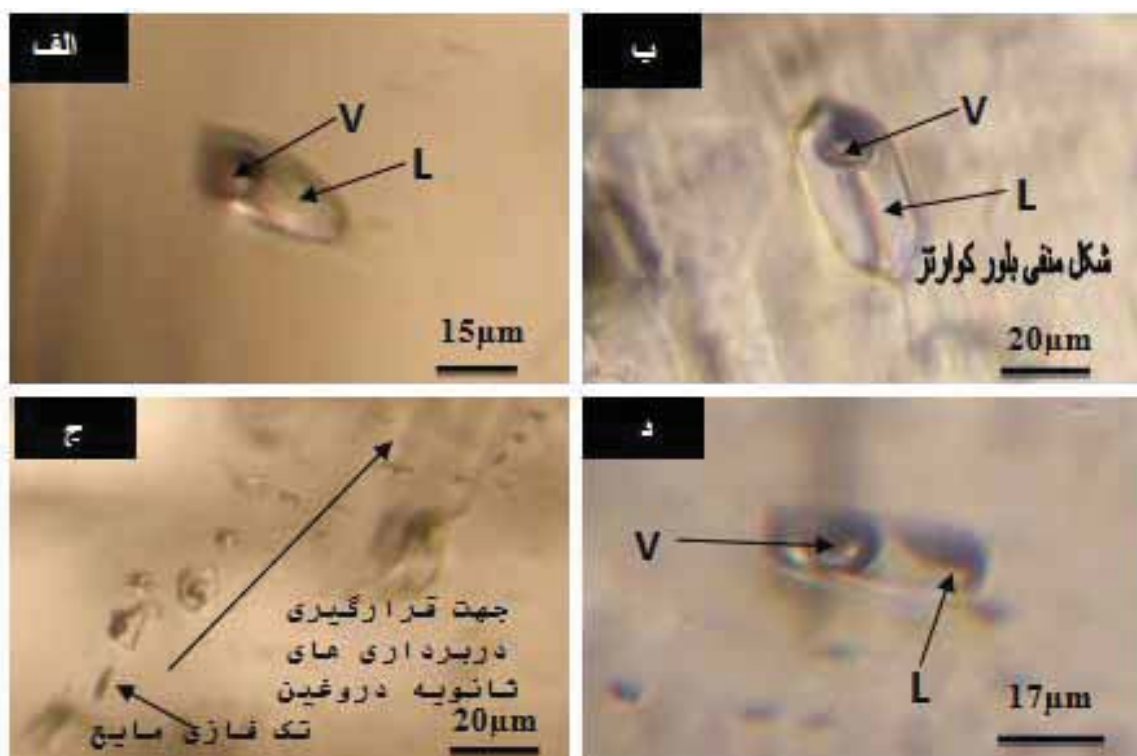
فازهای مایع و گاز می‌باشند و با داشتن بیش از ۷۰ درصد فاز مایع از نوع غنی از مایع هستند. میانبارهای سیال اولیه که با فاصله از یکدیگر قرار دارند نسبت به سایر میانبارها بزرگتر (۱۰-۲۰ میکرومتر) می‌باشند. انواع ثانویه کاذب به صورت میانبارهای بی‌شکل در امتداد یکدیگر قرار دارند اما هیچگونه شکستگی با آنها مشاهده نمی‌شود اندازه آنها در مقایسه با انواع اولیه، کوچکتر بوده و در امتداد یکدیگر قرار گرفته‌اند (شکل ۱۰). مطالعات ریز دما‌سنجی تنها بر روی میانبارهای دو فازی اولیه انجام شد.

## میانبارهای سیال

**الف-پتروگرافی میانبارهای سیال**  
به منظور تعیین ویژگی‌های سیال کانهزا، آزمایشات ریزدماسنجی برروی میانبارهای سیال موجود در کانی کوارتز همزیست با کانهزا ای انجام گرفت. اغلب این میانبارها دارای اشکال زاویه‌دار، بیضوی، استونه‌ای، دوکی، مستطیلی و بی‌شکل هستند.

کانی کوارتز همراه با کانهزا، میزبان انواع میانبارهای اولیه و ثانویه کاذب است. انواع اولیه به صورت میانبارهای منفرد و از نوع دو فازی با

بتول تقی پور و آزاد بذرافشان



شکل ۱۰. تصاویر میکروسکوپی از میانبارهای سیال در کوارتزهای همراه با کانه‌زایی آهن در کانستنگ عنبرکوه، (الف، ب و د) میانبارهای سیال اولیه دو فازی، (ج) میانبارهای سیال ثانویه دروغین

نتایج حاصل از ریزدماسنجری میانبارهای سیال در رگه‌های کوارتز همراه کانه‌زایی نشان می‌دهد که به طور متوسط، دمای همگن شدن در این میانبارها ۲۶۰ درجه سانتی‌گراد و شوری معادل  $18/5$  درصد وزنی NaCl است (جدول ۲).

**ب- ریزدماسنجری میانبارهای سیال**  
با اندازه‌گیری دمای انجماد می‌توان مقدار شوری را در میانبارها، اندازه گرفته و چگالی و کیفیت املاح موجود را نیز مشخص کرد. میانگین  $T_m$  نمونه‌های اندازه‌گیری شده  $20/8$ - $20/8$ - درجه سانتی‌گراد است.

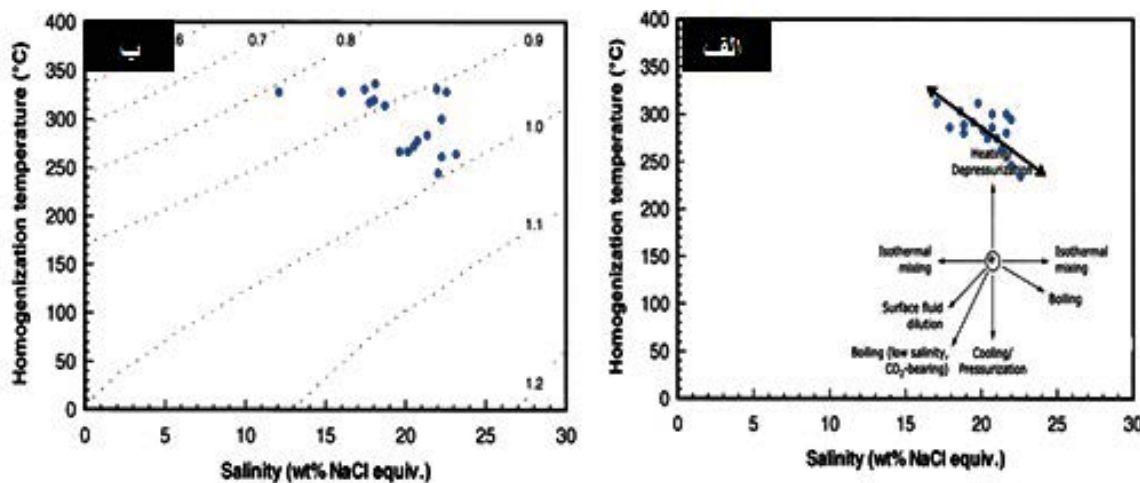
جدول ۲. نتایج میانبارهای سیال کوارتزهمزیست با کانه‌زایی

phases	Th(°c)	Tm(°c)	Nacl molality	Salinity(NaCl%) <sup>*</sup>	Critical point	Density	P (bar)
L+V	275	-15/1	3/93	18/70	552/1	1/05	2278
L+V	285	-19/4	4/80	21/94	559/2	1/08	2483
L+V	270	-14/8	3/87	18/45	549/8	1/05	2485
L+V	292	-13/9	3/67	17/68	540/0	1/04	2543
L+V	185	-25/7	-	-	-	-	-
L+V	268	-15/1	3/93	18/70	552/1	1/05	2150
L+V	231	-20/5	5/02	22/6	612/5	1/08	1495
L+V	309	-7/1	2/03	10/60	471/4	0/99	2836

phases	Th(°c)	Tm(°c)	Nacl molality	Salinity(NaCl/.)'	Critical point	Density	P (bar)
L+V	287	-20/3	4/98	22/55	610/0	1/08	2524
L+V	294	-14/4	3/78	18/11	545/0	1/05	2619
L+V	262	-21/2	5/15	23/14	621/2	1/09	2068
L+V	240	-20/8	5/07	22/88	612/2	1/08	1662
L+V	221	-19/4	4/81	21/94	599/2	1/08	1308
L+V	197	-24/9	-	-	-	-	-
L+V	255	-16/7	4/27	19/97	568/9	1/06	1921
L+V	260	-16/9	4/31	20/12	571/0	1/06	2013
L+V	268	-18/1	4/55	21/02	584/3	1/07	2165
L+V	252	-15/9	4/10	19/34	560/4	1/06	1863
L+V	258	-16/2	4/16	19/58	563/5	1/06	1974
L+V	302	-11/4	3/10	15/37	515/4	1/03	2744

عنبرکوه چنین پدیده‌ای مشاهده گردید. وقوع پدیده جوشش می‌تواند شاهد خوبی برای تغییرات فشار در برخی از کانسارها باشد که این تغییرات فشار ناشی از شکستگی‌های مکرر و ترمیم موقت آن‌هاست (Roedder, 1971). تعیین چگالی میانبارهای سیال براساس نمودار شوری در برابر دمای همگن سازی نیز در محدوده چگالی ۱/۰ تا ۰/۹ را نشان می‌دهد (شكل ۱۱-ب).

نمودار شوری- دمای همگن شدن- دامنه تغییرات را در امتداد یک روند خطی نشان می‌دهد (شکل ۱۱-الف) که با توجه به این روند می‌توان رخداد پدیده جوشش در سیال را انتظار داشت. به عقیده (1984) Roedder همیستی میانبارهای سیال دو فازی غنی از مایع و یا وجود نسبت‌های مختلف مایع به بخار در یک سیستم می‌تواند از نشانه‌های انجام پدیده جوشش باشد. در حین مطالعه میانبارهای سیال محدوده

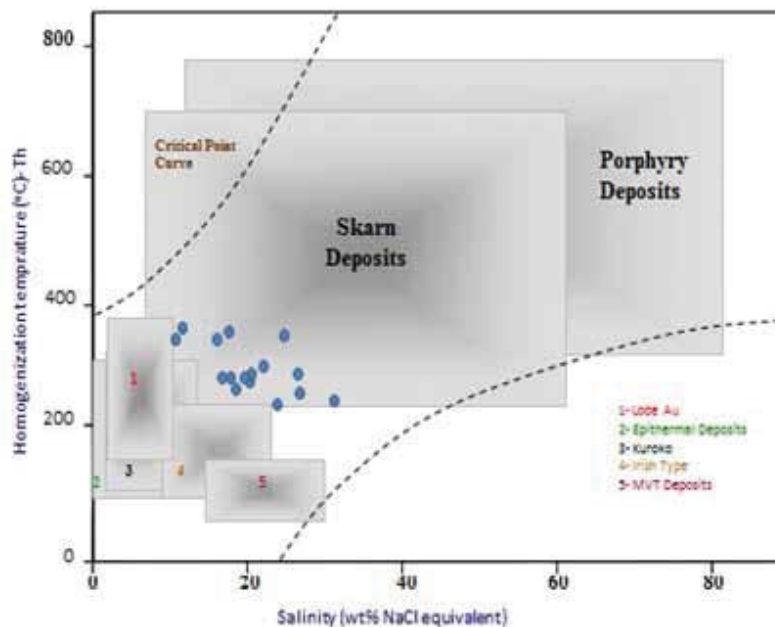


شکل ۱۱. الف) نمودار دمای همگن شدن-شوری که بیانگر رخداد جوشش در کانسار مورد مطالعه است (Wilkinson, 2001)، ب) نمودار تعیین چگالی برای میانبارهای مایع دارای فاز بخار (Zhang and Frantz 1987)

بتول تقی پور و آزاد بذرافشان

دماهی همگن شدگی رسم شده است. با توجه به شکل ۱۲ تمام نمونه‌های عنبرکوه در محدوده اسکارنی قرار می‌گیرند.

برای تعیین منشا کانسارها براساس مطالعات سیالات درگیر می‌توان از نمودار (Wilkinson, 2001) استفاده می‌شود. این نمودار بر اساس شوری در برابر



شکل ۱۲. نمودار شوری در مقابل دماهی همگن شدگی میانبارهای سیال و قرار گیری نمونه‌های مورد مطالعه در محدوده ذخایر نوع اسکارن (Wilkinson, 2001)

شیمیابی نشان می‌دهد که الگوی پراکندگی عناصر کمیاب خاکی شیست، گرانیت و روندی نسبتاً مشابه دارند و احتمال تشکیل گرانیت از شیست‌ها (سنگ‌های پوسته‌ای) را تقویت می‌کند. سنگ‌های کربناته به علت تخلخل بالا و شکستگی فراوان، محیط مناسبی برای جانشینی آهن و منگنز طی اسکارن‌زایی را فراهم می‌نمایند. الگوی عناصر کمیاب خاکی کانسنگ عنبر کوه شرایط کاهشی، فوگاسیته پایین اکسیژن و نیز دماهی بیش از ۲۵۰ درجه سانتی‌گراد سیال کانهزا را نشان می‌دهد.

مطالعات ریزدما سنجی بر روی کوارتز نشان‌دهنده متوسط دماهی همگن‌سازی ۲۶۰ درجه سانتی‌گراد و

## نتیجه‌گیری

با توجه به نتایج متفاوت پژوهشگران در مورد منشا گرانیت توتك، از دیدگاه برخی محققین منشا I و به عقیده برخی دیگر منشا S دارد، بر اساس شواهد صحرایی، میکروسکوپی و زمین شیمیابی انجام شده در این تحقیق گرانیت گنایی توتك از ذوب بخشی سنگ‌های پوسته‌ای و از دگرگون شدن درجه بالای شیست‌های منطقه طی فرایند گرانیت زایی پدید آمده است. کانسنگ آهن عنبرکوه درون کمپلکس توتك و همراه با سنگ‌های میزان کربناته می‌باشد. کوارتز، کلسیت، گارنت، پیروکسن و فلوگوپیت از مهمترین کانی‌ها تشکیل‌دهنده می‌باشند مطالعات زمین

سنگ شناسی و زمین شیمی کمپلکس...

نقشه زمین شناسی چهارگوش اقلید مقیاس ۱:۲۵۰۰۰۰. سازمان زمین شناسی کشور.

- Agard, P., Omrani, J., Jolivet, L., and Mouthereau, F., 2005. Convergence history across Zagros (Iran): Constraints and earlier deformation". International Journal of Earth Science, 94, 401-419.

- Alavi, M., 1994. Tectonics of the Zagros Orogenic belt of Iran: new data and interpretations. Tectonophysics, 229, 211-238.

- Alfons. M. and Graciela. M. S., 2012. Fluid inclusions - Petrography and genetic interpretation of fluid inclusions. Application of cathodoluminescence techniques.

- Antunes, I. M. H. R., Neiva, A. M. R., Silva, M. M.V. G., and Corfu, F., 2008. Geochemistry of Stype granitic rocks from the reversely zoned Castelo Branco pluton (central Portugal). Lithos 103, 445-465.

- Arvin, M., Pan, Y., Dargahi, S., Malekizadeh, A., and Babaei, A., 2007. Petrochemistry of the Siah-Kuh Granitoid stock southwest of Kerman, Iran: implication for initiation of Neotethys subduction. Journal of Asian Earth Science., 30, 474-489.

- Berberian, F., and Berberian, M., 1981. Tectono-plutonic episodes in Iran. In: Gupta H.K, delany Fm (eds) Zagros-Hijndu Kush-Himalaya geodynamic evolution. American Geophysical union. Geodynamic Series, 3, 5-32.

- Berberian, F., Muir, I. D., Pankhurst, R. J., and Berberian, M., 1982. Late Cretaceous And early Miocene Andean-Type plutonic activity in northern Makran and central Iran. Journal of Geological Society of London., 139, 605-614.

- Berberian, M., and King, G. C. P., 1981. Toward a paleogeography and tec-

شوری ۱۸/۵ درصد NaCl می باشد که براساس نمودار Wilkinson (2001), محدوده کانه زایی آهن عنبرکوه اسکارن است. در مجموع با توجه به داده های صحرایی، پتروگرافی، زمین شیمی و میانبار سیال انجام گرفته در کانسار عنبرکوه تیپ کانه زایی آهن از نوع اسکارن پسونده می باشد.

## سپاسگزاری

نویسنگان از حمایت های مالی کمیته تحقیقات دانشگاه شیراز در انجام رسانیدن این تحقیق تشکر و قدردانی می کنند.

## منابع:

- ابراهیمی، س.، ۱۳۷۸. زمین شناسی اقتصادی کمپلکس توک در ورقه ۱:۱۰۰۰۰ سوریان (آباده-استان فارس). پایان نامه کارشناسی ارشد. دانشکده علوم زمین. دانشگاه شهید بهشتی.

- احمدی، ا. ر.، ۱۳۸۳. پتروگرافی، پتروژنیز و ژئوشیمی سنگ های دگرگونی کمپلکس توک. پایان نامه کارشناسی ارشد. دانشکده علوم زمین. دانشگاه شهید بهشتی.

- اویسی، ب.، ۱۳۸۲. نقشه زمین شناسی چهارگوش سوریان مقیاس ۱:۱۰۰۰۰۰. سازمان زمین شناسی کشور.  
- حسینی، ب.، قربانی، م.، پورمعافی، س. م. و رشید نژاد عمران، ن.، ۱۳۹۰. سنیابی و تحولات آذرین و دگرگونی تاقدیس کوه سفید توک در زون سنتنج - سیرجان جنوبی. فصل نامه زمین شناسی ایران، ۱۷، ۱۷، ۲۹.

- قدمی میمندی، م.، پناهی، ا.، رسا، ا. نوری خانکه دانی، ک.، ۱۳۹۰. مطالعه ژئوشیمی و زمین شناسی اقتصادی کانی ها گارت، تورمالین و آمفیبول در گرانیت های بن دونو، استان فارس. دومین همایش علوم زمین.

- نوری خانکه دانی، ک.، ۱۳۸۴. بررسی ارتباط ژنتیکی و ساختمنی گنیس بن دونو با کمپلکس دگرگونی توک شرق بوانات، رساله دکتری، دانشکده علوم زمین، دانشگاه شهید بهشتی.

- هوشممنزاده، ع. و سهیلی، م.، ۱۳۶۹. شرح

بتوں تکی پور و آراد بذرافشان

- tonic evolution of Iran. Canadian Journal of Earth Sciences., 18, 210-26.
- Braud, J., 1987. La suture du Zagros au niveau de Kermanshah (Kurdistan Iranien): Reconstitution paleogeographique, evolution geodynamique, magmatique et structural. Fra., Da.1987; non pagine., Doct: Tectonic. Paris 11/1987/87/Pa11.
- Frietsch, F. and Perdahl, J.A., 1995. Rare earth elements in apatite and magnetite in Kiruna types iron ores and some other iron ore types. Ore Geology Reviews., 9, 489-510 .
- Guilbert.J.M. and Prak.C.F., 1997 The Geology of Ore Deposits. W.H.Freeman&Co,984.
- Henderson, P., 1989. Rare earth element geochemistry. Elsevier.9.510
- Irvin,T. N., and Baragar, W. R. A., 1971. A guide to the chemical classification of the common volcanic rocks. Canadian journal of Earth Sciences., 8, 532-548 .
- Kolahiazar.A. P., 2005. Structural and micro structural study of Zagros thrust-metamorphic region in Tutak Complex area. Shiraz University.
- Landerberger, B. and Collins, W.J., 1996. Derivation of A-types granites from a dehydrated charnockitic lower crust: evidence from the chaelundi complex. Eastern Australia. Journal of Petrology, 37, 145-170.
- Lohberg B. E. H. and Horndhal A. K., 1983. Ferride geochemistry of Swedish Precambrian iron ores. Mineral Deposita, 48, 487-504.
- Maniar, P. D., and Piccoli, P. M., 1989. Tectonic distributions of granitoids. Geological Society of America Bulletin., 101, 635-643.
- Michard, A., 1989. Rare earth element systematic in hydrothermal fluid. Geochemical et Cosmochimica Acta 53, 745-750.
- Mohajjal, M., Fergusson, C. L., and Sahandi, M.R., 2003. Cretaceous-Tertiary Convergence Continental collision, Sanandaj-Sirjan Zone, Western Iran. Journal Asian Earth Science 21, 397-412.
- Moinevaziri, H., 1985. Volcanisme Tertiaire et Quaternaire en Iran". These d' Etat, Paris -Sud Orsay, France, 290 (in French).
- Niroomand.S., Goldfarb, R. J., Moore, F., Mohajjal, M., and Marsh, E. E., 2011. The Kharapeh Orogenic gold deposit: geological, structural, and geochemical controls on epizonal ore formation in west Azarbaijan Province, Northwestern Iran. Mineral Deposita, DOI 10.1007/s00126-011-0335-x.
- Nystrom, J. O. and Henriquez, F., 1994. Magmatic features of iron ores of the Kiruna type in Chile and Sweden: ore textures and magnetite geochemistry. Economic Geology, 89, 820-839.
- Pearce, J. A., and Harris, N. B. W., Tindale, A. G., 1984. Trace element discrimination diagrams for the tectonic interpretation of granitic rocks. Journal of Petrology, 25, 956-983.
- Pearce, J. A., and Harris, N. B. W., Tindale, A. G., 1984. Trace element discrimination diagrams for the tectonic interpretation of granitic rocks. Journal of Petrology, 25, 956-983.
- Pollard, P. J., 2000. Evidence of magmatic fluid and metal source for Fe-oxide Cu-Au mineralization. In: Porter TM (ed) Hydrothermal iron oxide-Copper-gold and related deposits- a global perspective. PGC publishing, 1, 27-41
- Roedder, E., 1984. Fluid Inclusion. Re-

- view in Mineralogy, 12.
- Roedder, E., 1971, Fluid inclusion studies on the porphyry-type ore deposits at Bingham, Utah, Butte, Montana, and Climax, Colorado. *Economic Geology*, 66, 98-120
  - Roedder, E., 1984. Fluid inclusions. *Mineralogical Society of America, Reviews in Mineralogy*, 12, 644 .
  - Rollinson, H. A., 1993. Using Geochemical Data. Longman Scientific & Technical.
  - Sajana, F. G., Maury . R. C., Bellon, Cotton. G., and Defant. M., 1996 High field strength elements of Pliocene- Pleistocene island-arc basalts Zamboanga Peninsula, Western Mindanao (Philippines), *Journal of Petrology*, 37, 693-726.
  - Sterner, S. M. and Bodner, R. J., 1984. Synthetic fluid inclusions in natural quartz.I. Compositional types synthesized and applications to experimental geochemistry. *Geochim Cosmochim Acta*, 48, 2659-2668.
  - Streckeisen, A. L., 1976. Classification and nomenclature of igneous rocks (final report of an inquiry), *Neues Jahrbuch fur Mineralogic ,Abhandlungen*, 107, 144-240.
  - Wilkinson, J. J., 2001. Fluid inclusions in hydrothermal ore deposits. *Lithos*, 55, 229-272.
  - Zhang, Y.G. and Frantz. J.D., 1987. Determination of homogenization temperatures and densities of supercritical fluids in the system NaCl-KCl-CaCl<sub>2</sub>-H<sub>2</sub>O using synthetic fluid inclusions. *Chemical Geology*. 64, 335-350.